

การเปรียบเทียบคุณสมบัติของจีโอโพลิเมอร์จากเถ้าถ่านหิน

อุบลลักษณ์ รัตนศักดิ์¹

มหาวิทยาลัยบูรพา อ.เมือง จ.ชลบุรี 20131

และ ปริญญา จินดาประเสริฐ²

มหาวิทยาลัยขอนแก่น อ.เมือง จ.ขอนแก่น 40002

บทคัดย่อ

งานวิจัยนี้เป็นการศึกษาคุณสมบัติของวัสดุจีโอโพลิเมอร์จากเถ้าลอยและเถ้าก้นเตา ซึ่งได้มาจากโรงไฟฟ้าแม่เมาะ จังหวัดลำปาง โดยบดเถ้าก้นเตาให้มีขนาดอนุภาคใกล้เคียงกับเถ้าลอย และเตรียมจีโอโพลิเมอร์เพสต์ได้จากการผสมเถ้าถ่านหินกับสารละลายโซเดียมซิลิเกต (Na_2SiO_3) และโซเดียมไฮดรอกไซด์ (NaOH) อัตราส่วนของ $\text{Na}_2\text{SiO}_3/\text{NaOH}$ ที่ศึกษาคือ 0.5, 1.0, 1.5 และ 2.0 โดยน้ำหนัก ความเข้มข้นของสารละลายโซเดียมไฮดรอกไซด์ที่ใช้คือ 10 โมลาร์ วิธีการผสมเพื่อทำวัสดุจีโอโพลิเมอร์มี 2 วิธี คือ ผสมแบบแยกและผสมแบบธรรมดา บ่มเพสต์ที่ได้ที่อุณหภูมิ 65°C เป็นเวลา 48 ชั่วโมง เพื่อเปรียบเทียบปริมาณสารประกอบซิลิกา Si-O-Si (stretching) โดยเทคนิค Fourier Transform Infrared Spectrometer (FT-IR) ที่ช่วงความถี่ $1,200\text{-}950\text{ cm}^{-1}$ นอกจากนี้ยังศึกษาคุณสมบัติทางโครงสร้างทางจุลภาคและความร้อนของเพสต์ด้วยเทคนิค Differential Scanning Calorimeter (DSC) และทดสอบกำลังอัดของมอร์ตาร์ ผลการทดลองได้แสดงว่าปริมาณของสารประกอบซิลิกาและค่ากำลังอัดขึ้นกับอัตราส่วนของ $\text{Na}_2\text{SiO}_3/\text{NaOH}$ และวิธีการผสม สำหรับค่าที่เหมาะสมที่สุดของอัตราส่วน $\text{Na}_2\text{SiO}_3/\text{NaOH}$ คือช่วง 1.0 และ 1.5 ค่ากำลังอัดเฉลี่ยที่สูงที่สุดที่ได้จากจีโอโพลิเมอร์มอร์ตาร์จากเถ้าลอยคือ 350 กก./ซม.^2

คำสำคัญ : จีโอโพลิเมอร์ / เถ้าลอย / เถ้าก้นเตา

¹ อาจารย์ ภาควิชาเคมี คณะวิทยาศาสตร์

² ศาสตราจารย์ ภาควิชาวิศวกรรมโยธา คณะวิศวกรรมศาสตร์

A Comparative Study on Properties of Geopolymeric Material from Coal Ash

Uboluk Rattanasak

Burapha University, Muang, Chonburi 20131

and Prinya Chindapasirt

Khon Kaen University, Muang, Khon Kaen 40002

Abstract

This project was studied on the properties of geopolymeric material from fly ash and bottom ash obtained from Mae Moh power plant in Lumpang. Bottom ash was ground to have as small as fly ash particle. Geopolymer paste was made by mixing the ash with NaOH solution and Na_2SiO_3 solution. The mass ratio of $\text{Na}_2\text{SiO}_3/\text{NaOH}$ was varied at 0.5, 1.0, 1.5 and 2.0 by weight using 10 M NaOH. Two mixing methods were investigated; separated mixing (S) and normal mixing (N). Pastes were then cured at 65 °C for 48 hours in order to study the quantities of silica compound, Si-O-Si (stretching), by Fourier Transform Infrared Spectrometer (FT-IR) at frequency of 1200-950 cm^{-1} . Microstructure and thermal properties of paste by Differential Scanning Calorimeter (DSC) were additionally carried out. Geopolymer mortar was performed for the compressive strength. The results showed that quantities of reacted silicon compound (Si-O-Si) depended on the $\text{Na}_2\text{SiO}_3/\text{NaOH}$ ratio and mixing method. $\text{Na}_2\text{SiO}_3/\text{NaOH}$ of 1.0 and 1.5 gave a good performance and the highest compressive strength obtaining from fly ash-based geopolymer was up to 350 ksc.

Keywords : Geopolymer / Fly Ash / Bottom Ash

¹ Lecturer, Department of Chemistry, Faculty of Science

² Professor, Department of Civil Engineering, Faculty of Engineering

1. บทนำ

การศึกษาเกี่ยวกับเทคโนโลยีทางวัสดุเพื่อผลิตวัสดุใหม่ที่มีคุณสมบัติทดแทนวัสดุเดิมที่มีการใช้งาน ถือเป็นสิ่งจำเป็นในสภาวะปัจจุบัน อาจเป็นผลเนื่องมาจาก วัสดุเดิมที่ใช้อยู่มีข้อจำกัดทางด้านวัตถุดิบที่ใช้ผลิต ผลกระทบต่อสิ่งแวดล้อมในระหว่างกระบวนการผลิต ตลอดจนโครงสร้างที่มีลักษณะพิเศษอาจจำเป็นต้องใช้วัสดุที่มีคุณสมบัติพิเศษมากขึ้น ในเทคโนโลยีด้านก่อสร้างที่ผ่านมาหรือแม้แต่ปัจจุบัน ต้องยอมรับว่าคอนกรีตเป็นวัสดุที่ได้รับความนิยมเป็นอันดับหนึ่ง ทั้งนี้เนื่องจากความเหมาะสมทางด้านราคา การผลิตที่ไม่ยุ่งยากและสามารถควบคุมคุณสมบัติได้ง่าย แต่อย่างไรก็ตามการใช้วัสดุคอนกรีตอาจมีข้อจำกัดที่ตามมา ทั้งทางด้านคุณสมบัติพิเศษที่ต้องการมากขึ้น หรือกระบวนการผลิตปอร์ตแลนด์ซีเมนต์ที่ส่งผลเสียต่อสภาวะแวดล้อม ดังนั้นเทคโนโลยีด้านวัสดุที่ผ่านมาจึงได้มีการคิดค้นวัสดุทดแทนเพื่อลดการใช้ปอร์ตแลนด์ซีเมนต์ให้น้อยลง โดยการใช้วัสดุเหลือใช้ หรือกากจากโรงงานอุตสาหกรรมมาแทนที่บางส่วนในปอร์ตแลนด์ซีเมนต์ ซึ่งได้ผลิตทั้งทางด้าน การเพิ่มคุณสมบัติบางอย่างให้คอนกรีตดีขึ้น และลดมลภาวะจากการทิ้งกากเหลือใช้ดังกล่าว แต่ยังคงความจำเป็นที่ต้องใช้ปอร์ตแลนด์ซีเมนต์ผสมด้วยบางส่วน ซึ่งไม่สามารถปฏิเสธได้เลยว่ายังจำเป็นต้องใช้ปอร์ตแลนด์ซีเมนต์อยู่

ดังนั้นการพัฒนาวัสดุจีโอโพลิเมอร์ (Geopolymer) จึงมีวัตถุประสงค์เพื่อผลิตวัสดุใหม่ให้สามารถใช้งานแทนโครงสร้างคอนกรีตโดยไม่ต้องใช้ปอร์ตแลนด์ซีเมนต์ โดยการนำสารละลายอัลคาไลที่เข้มข้นเร่งปฏิกิริยาวัสดุเหลือทิ้งจากโรงงานอุตสาหกรรมที่อุณหภูมิห้อง ทำให้ได้สารประกอบที่มีคุณสมบัติในการยึดประสานโดยไม่ต้องใช้ปูนซีเมนต์เป็นส่วนผสม สารผสมดังกล่าวได้จากการทำปฏิกิริยาระหว่างสารที่มีซิลิกา (SiO_2) และอลูมินา (Al_2O_3) เป็นองค์ประกอบ กับสารละลายโซเดียมซิลิเกตและสารละลายเบสความเข้มข้นสูง เพื่อให้เกิดปฏิกิริยาโพลิคอนเดชัน ได้สารประกอบอลูมิโนซิลิเกตที่มีคุณสมบัติคล้ายซีเมนต์ ซึ่งมีความแข็งแรงกว่าจีโอโพลิเมอร์

2. ความสำคัญของงานวิจัย

การทดลองนี้ได้ศึกษาคุณสมบัติของวัสดุจีโอโพลิเมอร์

จากถ้ำถ่านหิน และศึกษาคุณสมบัติของวัสดุจีโอโพลิเมอร์ โดยทำการเปรียบเทียบปริมาณสารประกอบซิลิกา การทดสอบทางความร้อน การศึกษาโครงสร้างทางจุลภาค จากถ้ำถ่านหิน 2 ชนิด คือถ้ำถ่านกับถ้ำถ่านเตา นำเข้ามาผสมเป็นจีโอโพลิเมอร์เพสต์ (Geopolymer paste) ด้วยสารละลายโซเดียมซิลิเกต (Na_2SiO_3) และสารละลายโซเดียมไฮดรอกไซด์ (NaOH) ในสภาวะและอัตราส่วนต่างๆ กัน และเปรียบเทียบกำลังอัดโดยการทำให้จีโอโพลิเมอร์มอร์ตาร์ เพื่อให้ทราบสภาวะที่เหมาะสม และนำมาศึกษาเกี่ยวกับวัสดุจีโอโพลิเมอร์ต่อไป

3. การทดลอง

3.1 วัสดุ

วัสดุที่ใช้ในการศึกษาครั้งนี้ประกอบด้วยถ้ำถ่านและถ้ำถ่านเตาจากโรงผลิตกระแสไฟฟ้าแม่เมาะ ซึ่งมีองค์ประกอบหลักทางเคมีในรูปออกไซด์ที่ทดสอบด้วยเครื่อง X-ray fluorescence (XRF) ดังตารางที่ 1 และทำการบดถ้ำถ่านเตาให้มีขนาดใกล้เคียงกับถ้ำถ่าน

สารละลายที่ใช้ในการสังเคราะห์จีโอโพลิเมอร์ประกอบด้วย : สารละลายโซเดียมซิลิเกต ($\text{Na}_2\text{O} \cdot \text{SiO}_2$) ซึ่งมี Na_2O 9% และ SiO_2 30% โดยน้ำหนัก ความถ่วงจำเพาะ 1.36 ที่ 30°C ส่วนสารละลายโซเดียมไฮดรอกไซด์เตรียมที่ความเข้มข้น 10 โมลาร์

3.2 การเตรียมวัสดุจีโอโพลิเมอร์จากถ้ำถ่านหิน

ในการเตรียมจีโอโพลิเมอร์จากถ้ำถ่านหิน นำถ้ำถ่านมาผสมกับ 10 M NaOH และ $\text{Na}_2\text{O} \cdot \text{SiO}_2$ ทำการผสมที่หลายอัตราส่วนของ $\text{Na}_2\text{O} \cdot \text{SiO}_2 / \text{NaOH}$ (G/N) โดยน้ำหนัก ดังแสดงในตารางที่ 2 โดยมีสองขั้นตอนการผสมคือ

1. การผสมแบบธรรมดา (Normal mixing-N) คือผสมถ้ำถ่านหิน, 10 M NaOH และ $\text{Na}_2\text{O} \cdot \text{SiO}_2$ ในเวลาเดียวกัน

2. การผสมแบบแยก (Separated mixing-S) คือผสมถ้ำถ่านหินกับ 10 M NaOH ก่อนและกวนเป็นเวลา 10 นาที เพื่อก่อรูปเป็นสารริเริ่ม (precursor) จากนั้นเติม $\text{Na}_2\text{O} \cdot \text{SiO}_2$ ผสมกับของผสมเหลวชั้นระหว่างถ้ำถ่านหินและ 10 M NaOH เพื่อช่วยในการเกิดปฏิกิริยาจีโอโพลิเมอร์เช่นกัน

ของวัสดุจีโอโพลิเมอร์

ทำการบ่มของเหลวชั้นที่ได้ในเตาอบที่อุณหภูมิ 65 °C เพื่อเร่งการเกิดปฏิกิริยา เป็นเวลา 48 ชั่วโมง [1] แกะแบบ

จีโอโพลิเมอร์เพสต์ เพื่อนำไปทดสอบคุณสมบัติทางเคมีต่อไป

ตารางที่ 1 องค์ประกอบหลักทางเคมีและคุณสมบัติทางกายภาพของเถ้าลอยและเถ้าก้นเตา

องค์ประกอบทางเคมี (%)	เถ้าลอย	เถ้าก้นเตา
SiO ₂	38.7	38.8
Al ₂ O ₃	20.8	12.8
Fe ₂ O ₃	15.3	5.1
CaO	16.6	18.9
ค้างบนตะแกรงเบอร์ 325 (% โดยน้ำหนัก)	32	29

ตารางที่ 2 สัดส่วนการผสมจีโอโพลิเมอร์เพสต์จากเถ้าก้นหิน (โดยน้ำหนัก)

ตัวอย่าง	เถ้า	10M NaOH (N)	Na ₂ O.SiO ₂ (G)	อัตราส่วน G/N
1	60	13.4	26.6	2.0
2	60	16.0	24.0	1.5
3	60	20.0	20.0	1.0
4	60	26.6	13.4	0.5

3.3 การทดสอบวัสดุจีโอโพลิเมอร์จากเถ้าก้นหิน

การทดลองทางด้านเคมี ใช้จีโอโพลิเมอร์เพสต์เพื่อลดตัวแปรที่อาจรบกวนการวิเคราะห์ที่ให้น้อยลง แต่ในการทดสอบค่ากำลังอัดได้ใช้จีโอโพลิเมอร์มอร์ตาร์ขนาดมาตรฐานตาม ASTM C109

ทดสอบจีโอโพลิเมอร์เพสต์เพื่อเปรียบเทียบปริมาณสารประกอบซิลิกา (Si-O-Si) โดยใช้เทคนิค Fourier Transform Infrared Spectrometer (FT-IR) โดยศึกษาพันธะ Si-O-Si (Stretching) ในช่วงสเปกตรัม 1,200-950 ซม.⁻¹ เป็นพีคที่เด่น (very strong) [2, 3] ผลแต่ละค่าเปรียบเทียบกับเถ้าก้นหินดั้งเดิม (ที่ไม่ได้ผสมเป็นสารจีโอโพลิเมอร์) และเปรียบเทียบกับอัตราส่วนผสมต่างๆ เพื่อศึกษาว่าที่อัตราส่วนผสมใดที่เกิดปฏิกิริยาจีโอโพลิเมอร์ได้ดี จากนั้นทดสอบโครงสร้างทางจุลภาคด้วยเทคนิค SEM และคุณสมบัติทางความร้อนโดยเทคนิค Differential Scanning Calorimetry (DSC)

ทำการหล่อแบบจีโอโพลิเมอร์มอร์ตาร์ขนาดมาตรฐาน 5x5x5 ซม. สำหรับการทดสอบกำลังอัด โดยใช้อัตราส่วนทรายต่อเถ้าก้นหินเท่ากับ 2 : 1 โดยน้ำหนัก

4. ผลและการวิเคราะห์ผลการทดลอง

4.1 การศึกษาการเปรียบเทียบปริมาณสารประกอบซิลิกา (Si-O-Si) โดยใช้เทคนิค FT-IR

ทำการทดสอบหาพื้นที่ใต้พีคของวัสดุจีโอโพลิเมอร์จากเถ้าลอยด้วยเทคนิค FT-IR เพื่อศึกษาพันธะ Si-O-Si (Stretching) ที่ช่วงสเปกตรัม 1,200-950 ซม.⁻¹ ซึ่งเป็นพีคที่เด่น โดยศึกษาอัตราส่วน G/N ต่างๆ ที่ 10 M NaOH ดังแสดงผลในตารางที่ 3

ตารางที่ 3 เถ้าลอยให้พื้นที่ของพีค Si-O-Si (Stretching) ที่ตำแหน่ง 1,200-950 ซม.⁻¹ น้อยสุดเนื่องจากเถ้าลอยยังไม่เกิดปฏิกิริยาจีโอโพลิเมอร์เซชัน ตัวอย่าง FT-IR ของจีโอโพลิเมอร์เพสต์ได้แสดงดังรูป 1 จะเห็นว่า

ตำแหน่งของ Si-O-Si เปลี่ยนแปลงไปจากเดิม และเลื่อนไปทางด้านขวามือหรือทางช่วงความถี่ต่ำลง

ความสัมพันธ์ระหว่างอัตราส่วน G/N และอัตราส่วนพื้นที่พีค (peak ratio) ของพีคจีโอโพลิเมอร์เพสต์กับพีคแก้วด้านหินดั้งเดิม ที่ช่วงสเปกตรัม 1,200-950 cm^{-1} ได้แสดงในรูปที่ 2 และพบว่าถ้าแก้วกันเตาให้ค่าอัตราส่วนพื้นที่

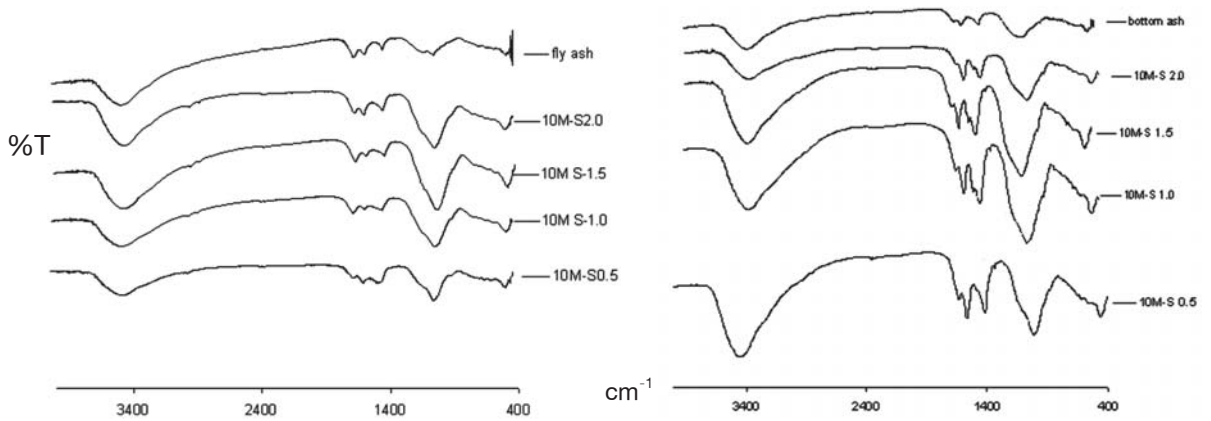
พีคสูงกว่ากรณีของแก้วลอยในช่วง G/N ระหว่าง 0.5-1.5 และให้ค่าสูงสุดที่ G/N = 1 สำหรับการผสมแบบแยก (S) ในขณะที่แก้วลอยให้ค่าอัตราส่วนพื้นที่พีคสูงสุดที่ G/N = 1.5 และการผสมแบบแยกให้ค่าอัตราส่วนพื้นที่พีคลดลงเมื่อค่า G/N มากขึ้น ซึ่งตรงกันข้ามกับการผสมแบบธรรมดา (N) ที่ให้ค่าอัตราส่วนพื้นที่สูงขึ้นตามอัตราส่วน G/N ที่เพิ่มขึ้น

ตารางที่ 3 พื้นที่พีคของซิลิกาที่ทดสอบด้วยเทคนิค FT-IR ของวัสดุจีโอโพลิเมอร์ที่ผสมด้วยแก้วลอย

		อัตราส่วน G/N	Corrected area	อัตราส่วนพื้นที่พีค	พื้นที่ของพีค Si-O-Si (cm^{-1})
แก้วลอย (FA)		-	7.15	1	1,016
ผสมแบบแยก (S)	1	2.0	22.64	3.17	1,012
	2	1.5	32.41	4.53	1,001
	3	1.0	21.14	2.96	1,008
	4	0.5	11.06	1.55	1,005
ผสมแบบธรรมดา (N)	1	2.0	18.38	2.57	1,012
	2	1.5	16.95	2.37	1,016
	3	1.0	12.79	1.79	1,009
	4	0.5	12.96	1.81	1,005
แก้วกันเตา (BT)		-	14.90	1	1,023
ผสมแบบแยก (S)	1	2.0	41.77	2.80	1,023
	2	1.5	97.71	6.56	1,016
	3	1.0	121.67	8.17	1,016
	4	0.5	50.76	3.41	1,027
ผสมแบบธรรมดา (N)	1	2.0	59.77	4.01	1,023
	2	1.5	44.71	3.00	1,016
	3	1.0	31.04	2.08	1,012
	4	0.5	30.04	2.02	1,012

เมื่อ Peak area ratio คือ อัตราส่วนของพื้นที่พีคจีโอโพลิเมอร์เพสต์ต่อพื้นที่พีคแก้วลอย

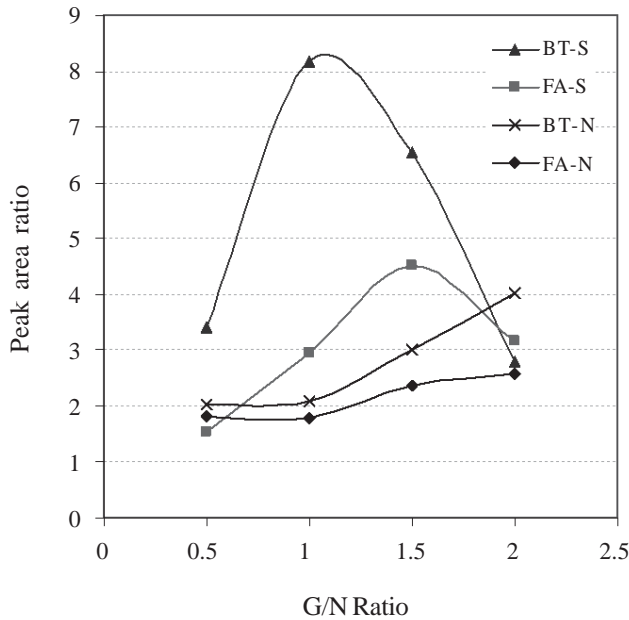
Corrected area คือ พื้นที่พีค Si-O-Si (Stretching)



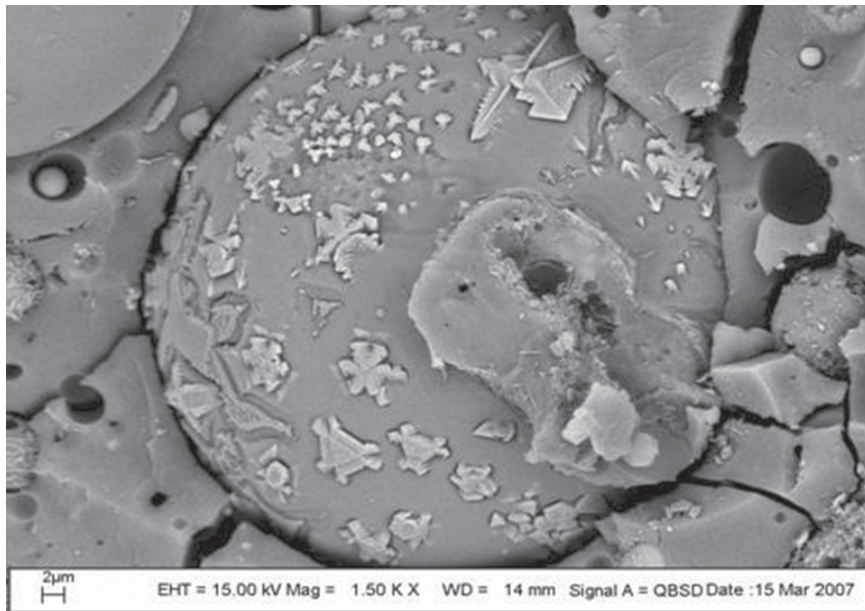
รูปที่ 1 FT-IR spectra ของอีพอกซีโพลีเมอร์จากเถ้าลอยและเถ้าก้นเตาที่ผสมแบบแยก

การผสมแบบแยกทำให้เถ้าลอยและเถ้าก้นเตาเกิดปฏิกิริยาได้ดีกว่าการผสมสารทุกอย่างรวมกัน เนื่องจากซิลิกาและอลูมินามีเวลาพอเพียงที่จะถูกชะออกมาจากผิวด้วยสารละลายโซเดียมไฮดรอกไซด์ในรูปของเจลเพื่อทำ

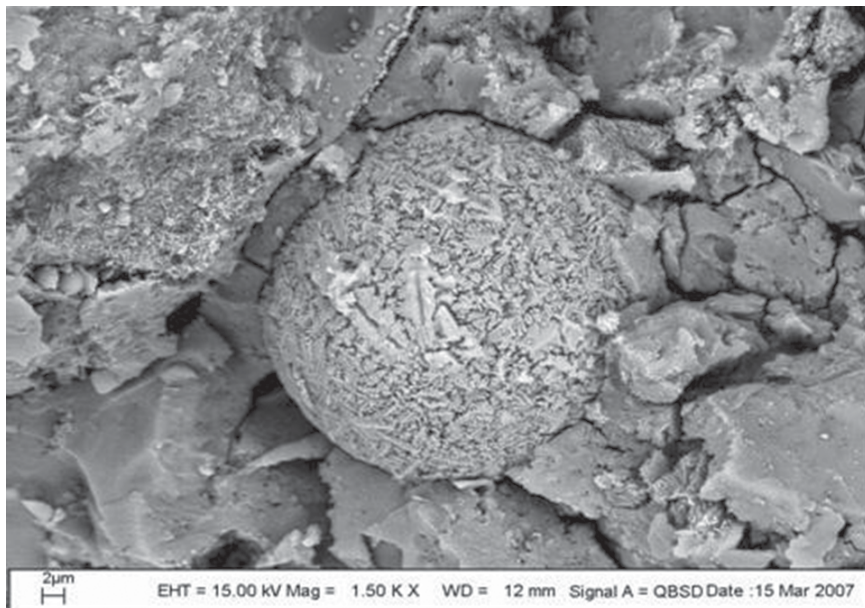
หน้าที่เป็นตัวริเริ่มของปฏิกิริยาอีพอกซีโพลีเมอร์เซชัน ก่อนที่จะทำปฏิกิริยาต่อไปกับสารละลายโซเดียมซิลิเกตที่ช่วยในการก่อตัวของวัสดุอีพอกซีโพลีเมอร์ [4]



รูปที่ 2 ความสัมพันธ์ระหว่างอัตราส่วนพื้นที่กับ G/N



รูปที่ 3 โครงสร้างจุลภาคของจีโอโพลิเมอร์เพสต์จากถ้ำลอยที่ผสมแบบแยก อัตราส่วน G/N เท่ากับ 1.5 ที่กำลังขยาย 1,500 เท่า



รูปที่ 4 โครงสร้างจุลภาคของจีโอโพลิเมอร์เพสต์จากถ้ำกันเตาที่ผสมแบบแยก อัตราส่วน G/N เท่ากับ 1.0 ที่กำลังขยาย 1,500 เท่า

4.2 การศึกษาโครงสร้างจุลภาค

จีโอโพลิเมอร์เฟสได้จากแก้วลอยที่ผสมแบบแยกที่อัตราส่วน G/N เท่ากับ 1.5 และจีโอโพลิเมอร์เฟสได้จากแก้วกันเตาที่ผสมแบบแยก อัตราส่วน G/N เท่ากับ 1.0 ได้นำมาศึกษาโครงสร้างทางจุลภาคเนื่องจากผลของ FT-IR ให้ค่าพื้นที่พีคสูง

จากรูปที่ 3 โครงสร้างของจีโอโพลิเมอร์เฟสของแก้วลอย แสดงให้เห็นความขรุขระและเกิดเม็ดเจลโดยรอบเนื่องจากเกิดการเปลี่ยนแปลงเป็นสารจีโอโพลิเมอร์ โดยซิลิกอน (Si) และอะลูมิเนียม (Al) ในแก้วกันเตาถูกชะออกมาโดยโซเดียมไฮดรอกไซด์เกิดเป็นโครงสร้างสามมิติ แล้วทำปฏิกิริยากับโซเดียมซิลิเกตเกิดเป็นเจลขึ้น ปฏิกิริยาจะเกิดขึ้นที่ผิวบางส่วนของแก้วลอยเท่านั้น อย่างไรก็ตามปฏิกิริยาที่เกิดขึ้นนั้นยังไม่สมบูรณ์เพราะยังพบพื้นที่ผิวบางส่วนของแก้วลอยที่ยังคงเรียบและไม่มีเจลเกาะ

หากพิจารณาพื้นที่ผิวของแก้วลอยและแก้วกันเตาพบว่าแก้วลอยมีพื้นที่เรียบ ซึ่งอาจทำปฏิกิริยากับสารละลายเบสได้น้อยกว่าผิวที่ขรุขระของแก้วกันเตา แต่ทั้งนี้ความสามารถในการทำปฏิกิริยาขึ้นอยู่กับปริมาณเฟสอสัญฐาน (glassy phase) และความเป็นผลึกของแก้วกันเตา ซึ่งโดยทั่วไปพบว่าแก้วกันเตาจะมีเฟสอสัญฐานที่มีความว่องไวต่อปฏิกิริยาน้อยกว่าแก้วลอย [5]

อย่างไรก็ตาม การบดแก้วกันเตาจะทำให้เกิดการแตกอนุภาคของแก้วผิวของแก้วกันเตา (รูปที่ 4) มีความขรุขระและเกิดเจลโดยรอบ เนื่องจากโซเดียมไฮดรอกไซด์สัมผัสกับผิวของแก้วกันเตาได้มากขึ้น แต่การเกิดปฏิกิริยายังคงไม่สมบูรณ์ จากรูปยังพบพื้นที่ผิวบางส่วนไม่มีเจลเกาะอยู่

เมื่อพิจารณาถึงความแน่น (dense) ของเนื้อจีโอโพลิเมอร์เฟสบริเวณโดยรอบแก้วลอยที่เกิดปฏิกิริยาในรูปที่ 3 พบว่ามีลักษณะแน่นและเป็นเนื้อเดียวกัน ในขณะที่เนื้อจีโอโพลิเมอร์จากแก้วกันเตาไม่เป็นเนื้อเดียวกันสังเกตเห็นการรวมตัวกันเป็นชั้นๆ และรอยเชื่อมต่อน่าจะชัดเจน โครงสร้าง

นี้อาจเป็นสาเหตุหนึ่งที่มีส่วนทำให้จีโอโพลิเมอร์จากแก้วกันเตารับแรงอัดได้น้อยกว่าจีโอโพลิเมอร์จากแก้วลอย

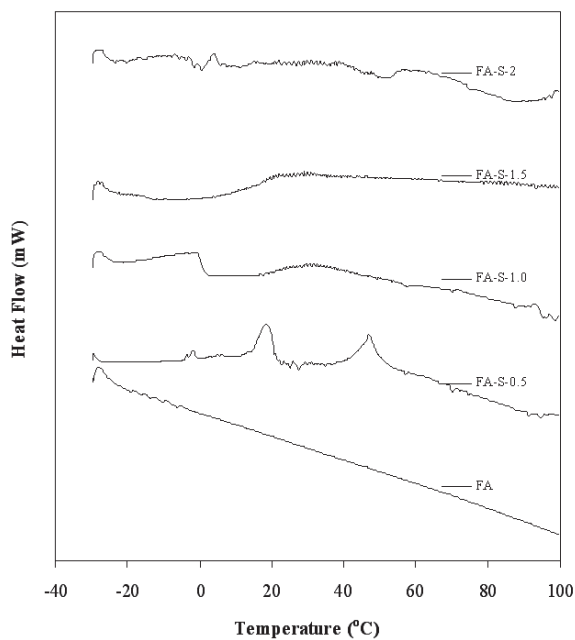
4.3 การทดสอบสมบัติทางความร้อนโดยเทคนิค DSC

การศึกษาทางความร้อนของจีโอโพลิเมอร์เฟสนี้เพื่อดูการเปลี่ยนแปลงที่เกี่ยวกับการดูดและคายความร้อนที่เกิดขึ้น โดยทำการศึกษาในช่วงอุณหภูมิ -30 ถึง 100 °C ได้ DSC Thermogram ที่แสดงให้เห็นลักษณะของกราฟที่เกิดขึ้นหลังจากที่ให้อุณหภูมิตั้งในรูปที่ 5 และ 6

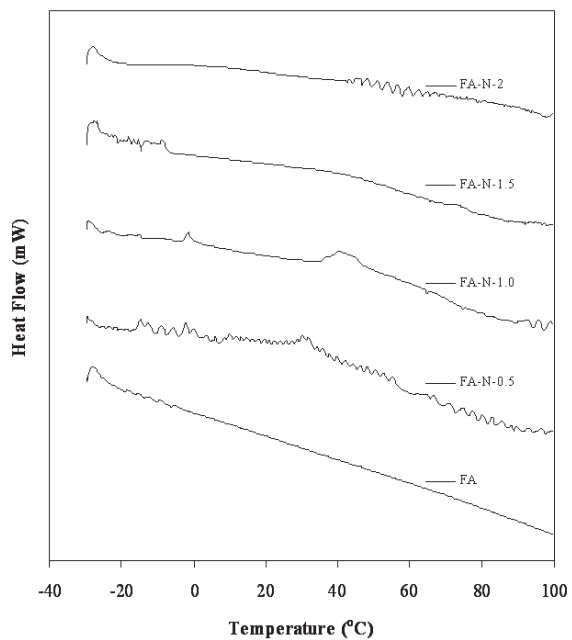
จากรูปที่ 5 พบว่าแก้วลอยให้เส้นกราฟ Thermogram ที่มีความชันคงที่แสดงถึงการไม่เกิดการเปลี่ยนแปลงทางเคมีในอนุภาค สำหรับจีโอโพลิเมอร์ที่ผสมแบบแยกจะมีลักษณะของ Thermogram ที่มีการเปลี่ยนแปลงเกิดขึ้น มีบางอัตราส่วน G/N ที่เกิดเป็นพีคขึ้น ที่เห็นได้ชัดคือ ที่อัตราส่วน G/N= 0.5 เกิดพีคขึ้นที่อุณหภูมิระหว่าง 20 กับ 50 °C พีคมีลักษณะที่ชันซึ่งเกิดการคายความร้อน (Exothermal) และมีการเปลี่ยนแปลงโครงสร้างภายในชั้นในจีโอโพลิเมอร์เฟสซึ่งจะพบในการผสมแบบแยกมากกว่าแบบธรรมดา ส่วนการผสมแบบธรรมดาพบว่า Thermogram มีลักษณะที่คล้ายกับแก้วลอยก่อนเกิดปฏิกิริยา

พีคที่พบช่วงอุณหภูมิประมาณ 0 °C คือพีคของการหลอมเหลวของน้ำ ซึ่งพบในวัสดุจีโอโพลิเมอร์แต่ไม่พบในแก้วลอย เนื่องจากการผลิตรวดจีโอโพลิเมอร์มีการเติมสารละลายซึ่งมีน้ำเป็นส่วนประกอบ ดังนั้นจึงมีพีคของน้ำที่ 0 °C ปรากฏขึ้นในทุกตัวอย่าง [6]

จาก DSC Thermogram ที่แสดงในรูปที่ 6 ของจีโอโพลิเมอร์จากแก้วกันเตาพบว่ามีเปลี่ยนแปลงเกิดขึ้นมากกว่าจีโอโพลิเมอร์จากแก้วลอย คือเกิดเป็นพีคที่ชันขึ้นและพบพีคที่เกิดที่ช่วง 0 °C พีคมีลักษณะที่ชันซึ่งเกิดการดูดความร้อน (Endothermal) อาจเกิดจากการเปลี่ยนเฟสของน้ำจากของแข็งเป็นของเหลวเมื่ออุณหภูมิเพิ่มขึ้น

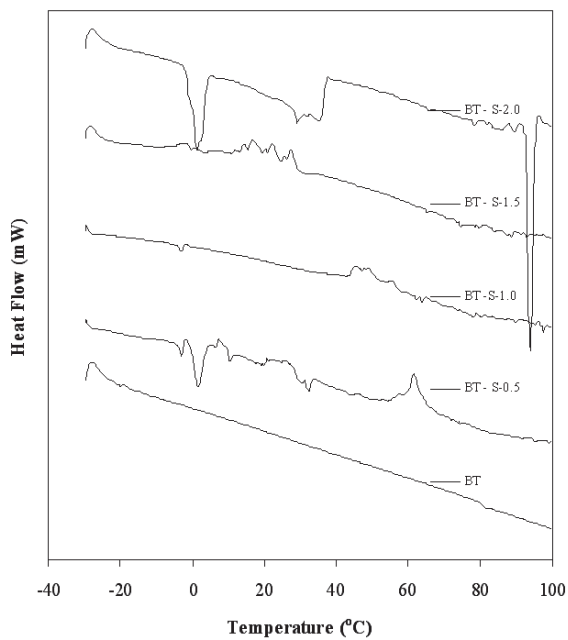


ก. วิธีการผสมแบบแยก (S)

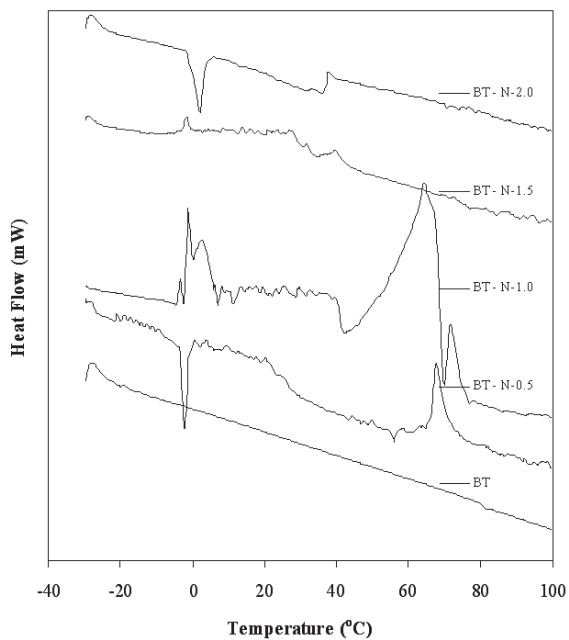


ข. วิธีการผสมแบบธรรมดา (N)

รูปที่ 5 DSC Thermogram ของเก้าลอยและจีโอโพลิเมอร์เฟสดี



ก. วิธีการผสมแบบแยก (S)



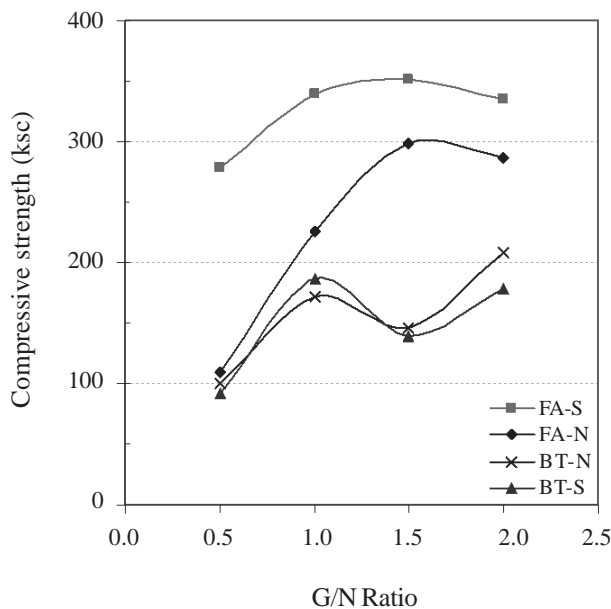
ข. วิธีการผสมแบบธรรมดา (N)

รูปที่ 6 DSC Thermogram ของเก้ากันเตาและจีโอโพลิเมอร์เฟสดี

บางกราฟที่อุณหภูมิประมาณ 100°C เกิดเป็นพีคที่มีลักษณะชี้ลง เป็นการเปลี่ยนเฟสของน้ำกลายเป็นไอ (boiling) นอกจากนี้ที่อัตราส่วน $\text{G/N} = 2.0$ พบว่าการผสมแบบแยกเกิดการเปลี่ยนแปลงอุณหภูมิสถานะคล้ายแก้ว (Glass Transition ; T_g) ที่อุณหภูมิประมาณ 37°C สำหรับพีคที่เกิดขึ้นในช่วงอุณหภูมิประมาณ $60\text{--}70^{\circ}\text{C}$ เป็นพีคของการคายความร้อน พีคที่เกิดขึ้นนี้คาดว่าเกิดการเปลี่ยนแปลงภายในของจีโอโพลีเมอร์และเกิดการจัดเรียงตัวเป็นผลึกขึ้นเมื่อทำการเปรียบเทียบจีโอโพลีเมอร์จากแก้วลอยและแก้วกันเตาเห็นได้ชัดว่า จีโอโพลีเมอร์จากแก้วกันเตาเกิดการเปลี่ยนแปลงทางความร้อนมากกว่าจีโอโพลีเมอร์จากแก้วลอย ในทำนองเดียวกันกับภาพถ่าย SEM ที่แสดงเจลที่เกิดรอบแก้วกันเตาได้ชัดเจนกว่าเจลที่เกิดรอบแก้วกัน

4.4 การศึกษากำลังอัดของจีโอโพลีเมอร์มอร์ตาร์

รูปที่ 7 แสดงกำลังอัดของจีโอโพลีเมอร์มอร์ตาร์ที่บ่มที่อุณหภูมิ 65°C เป็นเวลา 48 ชั่วโมง จีโอโพลีเมอร์จากแก้วลอยให้ค่ากำลังอัดสูงกว่าจีโอโพลีเมอร์ที่ได้จากแก้วกันเตา สำหรับทั้งวิธีการผสมแบบแยกและแบบธรรมดา โดยวิธีการผสมแบบแยกให้กำลังอัดที่สูงกว่า เนื่องจากสารละลายมีเวลาในการชะงักก่อนและอะลูมิเนียมออกมาจากอนุภาคแก้ว โดยที่อัตราส่วน G/N ในช่วง 1.0 ถึง 2.0 จีโอโพลีเมอร์จากแก้วลอยที่ผสมแบบแยกให้ค่ากำลังอัดที่ใกล้เคียงกัน คือมีค่าระหว่าง 335 ถึง 352 กก./ชม.² ซึ่งสารละลายโซเดียมซิลิเกตมีผลต่อค่ากำลังอัดน้อยสำหรับการผสมแบบนี้ ในขณะที่การผสมแบบธรรมดาพบว่าปริมาณสารละลายโซเดียมซิลิเกตมีผลต่อค่ากำลังอัดมาก การเพิ่มค่า G/N จาก 1.0 เป็น 1.5 ให้ค่ากำลังอัดเพิ่มขึ้นจาก 226 เป็น 299 กก./ชม.²



รูปที่ 7 กำลังอัดของจีโอโพลีเมอร์มอร์ตาร์

ส่วนจีโอโพลิเมอร์จากเถ้าก้นเตา ให้ค่ากำลังอัดที่ต่ำกว่าจีโอโพลิเมอร์จากเถ้าลอยมาก คืออยู่ในช่วง 100 - 200 กก./ชม.² การเพิ่มปริมาณโซเดียมซิลิเกตจะทำให้ค่ากำลังอัดของจีโอโพลิเมอร์จากเถ้าก้นเตาเพิ่มขึ้น โดยวิธีการผสมไม่มีผลต่อค่ากำลังอัดมากนัก ซึ่งโดยทั่วไปเถ้าก้นเตาจะมีความว่องไวน้อยกว่าเถ้าลอย [5] การบดเถ้าก้นเตาให้มีขนาดใกล้เคียงกับเถ้าลอยช่วยเพิ่มอัตราการปฏิกิริยา จากโครงสร้างจุลภาคทำให้เห็นลักษณะเนื้อจีโอโพลิเมอร์ของเถ้าก้นเตาที่ไม่เป็นเนื้อเดียวกันเมื่อเปรียบเทียบกับเนื้อจีโอโพลิเมอร์ของเถ้าลอย ดังนั้นอาจเป็นสาเหตุหนึ่งที่มีส่วนทำให้จีโอโพลิเมอร์จากเถ้าก้นเตารับแรงอัดได้น้อยกว่าจีโอโพลิเมอร์จากเถ้าลอย

5. สรุปผลการทดลอง

จากการทดลองพบว่าเถ้าลอยและเถ้าก้นเตามีศักยภาพในการผลิตเป็นวัสดุจีโอโพลิเมอร์ โดยการบดเถ้าก้นเตาให้มีขนาดเล็กลง และเพื่อแตกอนุภาคทำให้เกิดปฏิกิริยากับสารละลายเบสได้ดีขึ้น โดยปฏิกิริยาของจีโอโพลิเมอร์เกิดขึ้นที่ผิวของเถ้าลอยและเถ้าก้นเตา วิธีการผสมก็มีผลต่อคุณสมบัติของวัสดุจีโอโพลิเมอร์เช่นกัน การสัมผัสกันระหว่างเถ้าลอยหรือเถ้าก้นเตากับสารละลายโซเดียมไฮดรอกไซด์ก่อนการเติมสารละลายโซเดียมซิลิเกต เป็นการเพิ่มปฏิกิริยาที่ผิวของเถ้าได้ โดยการผสมแบบแยกให้ช่วงอัตราส่วน G/N ที่เหมาะสมในช่วง 1.0 และ 1.5 ในขณะที่การผสมแบบธรรมดาต้องใช้อัตราส่วน G/N ที่มากขึ้นคือในช่วง 1.5 และ 2.0 เพื่อให้ปฏิกิริยาการก่อตัวเป็นจีโอโพลิเมอร์เกิดได้ดีขึ้น

การศึกษาการเปลี่ยนแปลงทางความร้อนของจีโอโพลิเมอร์ได้แสดงให้เห็นว่าจีโอโพลิเมอร์จากเถ้าก้นเตาเกิดการเปลี่ยนแปลงทางความร้อนได้ชัดเจนกว่าจีโอโพลิเมอร์จากเถ้าลอย อย่างไรก็ตาม จากผลของกำลังอัดของจีโอโพลิเมอร์มอร์ตาร์พบว่าเถ้าลอยยังมีศักยภาพทางด้านกำลังดีกว่าเถ้าก้นเตา ซึ่งการผสมแบบแยกให้ค่ากำลังอัดสูงกว่าการผสมแบบธรรมดา ในขณะที่วิธีการผสมไม่มีผลต่อค่ากำลังอัดของจีโอโพลิเมอร์จากเถ้าก้นเตา

กิตติกรรมประกาศ

งานวิจัยนี้ได้รับทุนสนับสนุนจากโครงการทุนสนับสนุนนักวิจัยใหม่ วท. ประจำปี 2549 รหัสโครงการ F-31-102-25-01

เอกสารอ้างอิง

1. Chindaprasirt, P., Chareerat, T., and Sirivivananon, V., 2007, "Workability and Strength of Coarse High Calcium Fly Ash Geopolymer," *Cement and Concrete Composites*, Vol. 29, pp. 224-229.
2. Barbosa, V., MacKenzie, K. and Thaumaturgo, C., 2000, "Synthesis and Characterisation of Materials Based on Inorganic Polymers of Alumina and Silica: Sodium Polysialate Polymer," *International Journal of Inorganic Materials*, Vol. 2, pp. 309-17.
3. Günzler H. and Gremlich H., 2002, *IR Spectroscopy : An Introduction*, Wiley-VCH Verlag GmbH, Germany.
4. Lee, W.K.W., and Van Deventer, J.S.J., 2002, "Structure Reorganisation of Class F Fly Ash in Alkaline Silicate Solutions," *Colloids and Surfaces A : Physicochemistry Engineering Aspects*, Vol. 211, pp. 49-66.
5. Bethanis, S., Cheeseman C.R., and Sollars, C.J., 2002, "Properties and Microstructure of Sintered Incinerator Bottom Ash," *Ceramics International*, Vol. 28, pp. 881-886.
6. Phair, J.W., Smith J.D. and Van Deventer, J. S. J., 2003, "Characteristics of Aluminosilicate Hydrogels Related to Commercial 'Geopolymer,'" *Materials Letters*, Vol. 57, pp. 4356-4367

